

## Магнитное упорядочение в перовскитах $\text{Eu}_{1-x}\text{Ca}_x\text{MnO}_3$ ( $0 \leq x \leq 0.5$ )

© И.О. Троянчук, Н.В. Самсоненко, Г. Шимчак\*, А. Набялек\*

Институт физики твердого тела и полупроводников Академии наук Белоруссии,  
220072 Минск, Белоруссия

\* Институт физики Польской академии наук, Варшава, Польша

(Поступила в Редакцию 19 февраля 1996 г.

В окончательной редакции 19 августа 1996 г.)

Проведено исследование магнитных свойств  $\text{Eu}_{1-x}\text{Ca}_x\text{MnO}_3$ . По мере увеличения содержания кальция до  $x = 0.2$  наблюдалось увеличение намагниченности, температуры блокировки магнитных моментов кластеров и уменьшение магнитной анизотропии. При дальнейшем увеличении содержания кальция намагниченность уменьшалась, тогда как температура "замерзания" магнитных моментов увеличивалась. В составах с  $x = 0.4$  и  $0.5$  при  $T = 40\text{ K}$  обнаружены аномалии магнитных свойств, что связывается с переходом в антиферромагнитное состояние в зарядово-упорядоченной фазе.

В настоящее время интерес к свойствам ортоманганиотов со структурой перовскитов резко возрос. Это обусловлено тем, что магнитосопротивление при переходе из ферромагнитного в парамагнитное состояние в некоторых образцах может достигать значения  $10^7\%$  [1,2]. Это намного превышает аналогичный эффект в тонкопленочных образцах мультислойных структур. Обнаружено, что переход из ферромагнитного в парамагнитное состояние сопровождается резким увеличением магнитострикции, что даже приводит к изменению симметрии решетки [3]. Вместе с тем свойства ортоманганиотов далеко не изучены. Полученные результаты обсуждаются с различных точек зрения. Неясен и механизм обменных взаимодействий и природа гигантских аномалий транспортных свойств и магнитообъемного эффекта вблизи температуры Кюри. Это стимулирует дальнейшие исследования. Следует отметить, что исследования в основном выполнены для систем на основе  $\text{LaMnO}_3$  и  $\text{PrMnO}_3$ . В литературе отсутствуют сведения о свойствах перовскитов  $\text{Eu}_{1-x}\text{Ca}_x\text{MnO}_3$ . Поэтому целью настоящей работы является детальное исследование свойств этой системы в постоянных магнитных полях до  $120\text{ kOe}$ . Выбор этой системы удобен и с точки зрения иона  $\text{Eu}^{3+}$ , так как основное состояние этого иона характеризуется тем, что полный момент количества движения  $J = 0$ .

### 1. Эксперимент

Образцы  $\text{Eu}_{1-x}\text{Ca}_x\text{MnO}_3$  получены по обычной керамической технологии. Синтез выполнен на воздухе при температуре  $1700\text{ K}$ . Охлаждение проводилось со скоростью  $100\text{ K/h}$ . Рентгенофазовый анализ выполнен на дифрактометре ДРОН-3 в  $\text{Cr}K_{\alpha}$ -излучении. Все образцы в интервале  $0 \leq x \leq 0.5$  были однофазными перовскитами и характеризовались  $O^1$ -орторомбически искаженной элементарной ячейкой. Параметры элементарных ячеек приведены в

таблице. Химический анализ показал, что все образцы (кроме  $x = 0$ ) характеризуются содержанием кислорода, близким к стехиометрическому. Химическая формула ортоманганиита европия следующая:  $\text{EuMnO}_{3.02}$ .

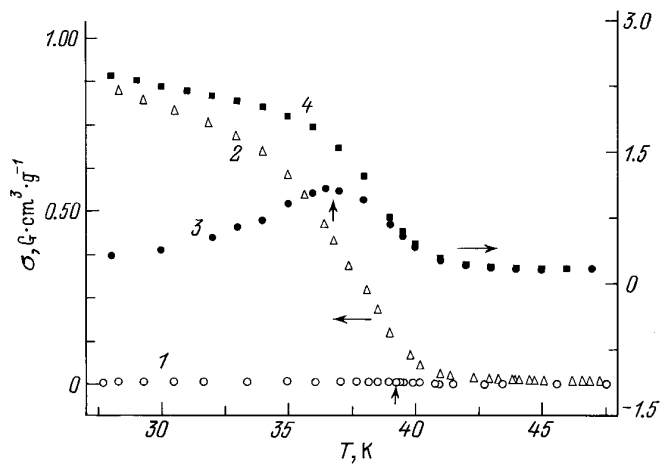
Магнитные измерения выполнены на вибрационном магнитометре с чувствительностью не менее  $10^{-5}\text{ G}$ . Для измерений в полях до  $16\text{ kOe}$  использовался обычный электромагнит, поля до  $120\text{ kOe}$  создавались сверхпроводящим соленоидом.

### 2. Результаты и обсуждение

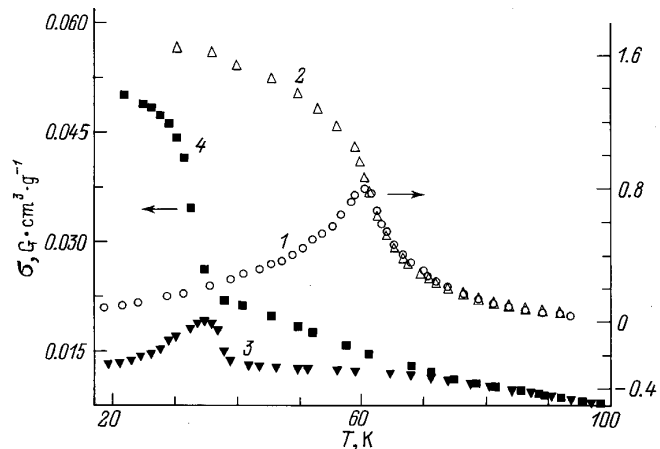
Результаты измерения намагниченности  $\text{EuMnO}_{3.02}$  в поле  $20\text{ Oe}$  после охлаждения в  $H = 0$  (ZFC) и  $20\text{ Oe}$  (FC) представлены на рис. 1. Ниже  $45\text{ K}$  кривые не совпадают. Намагниченность, измеренная после охлаждения в поле при  $4.2\text{ K}$ , на три порядка превышает намагниченность ZFC. Кривая ZFC характеризуется максимумом, интенсивность которого увеличивается, а температура максимума уменьшается с ростом поля (рис. 1). С увеличением содержания (до  $x = 0.3$ ) кальция температура расхождения кривых ZFC и FC увеличивается (рис. 2). Следует отметить, что в составах  $x = 0.1, 0.2$  и  $0.3$  температуры расхождения кривых ZFC и FC приблизительно совпадают с

Параметры элементарных ячеек  $\text{Eu}_{1-x}\text{Ca}_x\text{MnO}_3$  ( $0 \leq x \leq 0.5$ )

Соединение	$a, \text{\AA}$	$b, \text{\AA}$	$c, \text{\AA}$	$V, \text{\AA}^3$
$\text{EuMnO}_3$	5.331	5.819	7.494	58.12
$\text{Eu}_{0.9}\text{Ca}_{0.1}\text{MnO}_3$	5.345	5.710	7.468	56.96
$\text{Eu}_{0.8}\text{Ca}_{0.2}\text{MnO}_3$	5.337	5.634	7.517	56.51
$\text{Eu}_{0.7}\text{Ca}_{0.3}\text{MnO}_3$	5.363	5.530	7.536	55.87
$\text{Eu}_{0.6}\text{Ca}_{0.4}\text{MnO}_3$	5.348	5.467	7.549	55.18
$\text{Eu}_{0.5}\text{Ca}_{0.5}\text{MnO}_3$	5.353	5.431	7.540	54.80



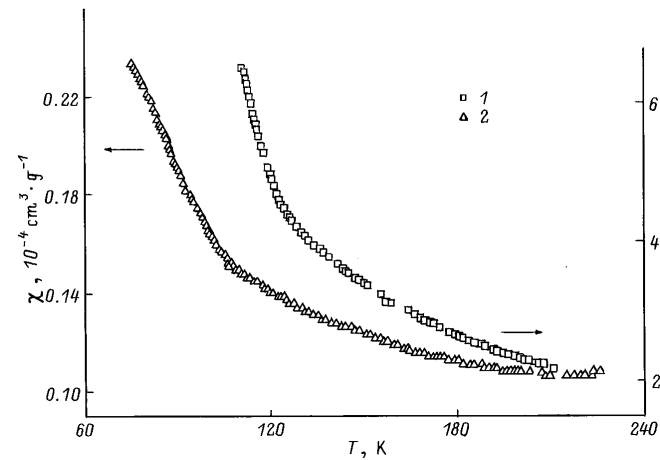
**Рис. 1.** Зависимости намагниченности образца  $\text{EuMnO}_{3.02}$  от температуры в полях 20 Ое (1, 2) и 1 кОе (3, 4). 1, 3 — ZFC, 2, 4 — FC.



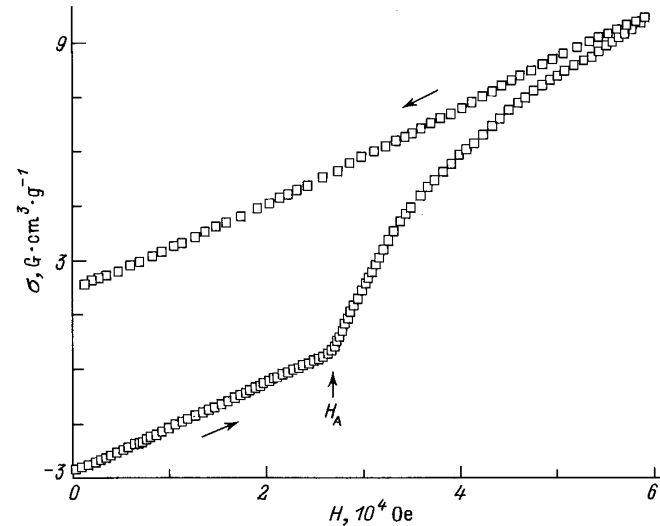
**Рис. 2.** Зависимости намагниченности состава  $\text{Eu}_{0.8}\text{Ca}_{0.2}\text{MnO}_3$  в поле 20 Ое (1, 2) и состава  $\text{Eu}_{0.5}\text{Ca}_{0.5}\text{MnO}_3$  в поле 40 Ое (3, 4) от температуры. 1, 3 — ZFC, 2, 4 — FC.

температурой максимума на кривой ZFC. Это не характерно для состава с  $x = 0.4$ . У этого состава кривые ZFC и FC расходятся при 100 К, тогда как максимум при кривой ZFC наблюдался при 40 К. При 40 К аномальное поведение наблюдалось и на кривой FC. В составе с  $x = 0.5$  кривые ZFC и FC расходятся при 70 К, однако температура максимума на кривой ZFC остается прежней (40 К) (рис. 2). Измерения магнитной восприимчивости составов с  $x = 0.4$  и  $0.5$  были выполнены до температур 230 К (рис. 3). Аномального поведения в области температур (50–230 К) не наблюдалось.

На рис. 4 представлена зависимость намагниченности от поля при 4.2 К состава  $\text{EuMnO}_{3.02}$ . Измерения выполнены после охлаждения в поле  $H = 30$  Ое.

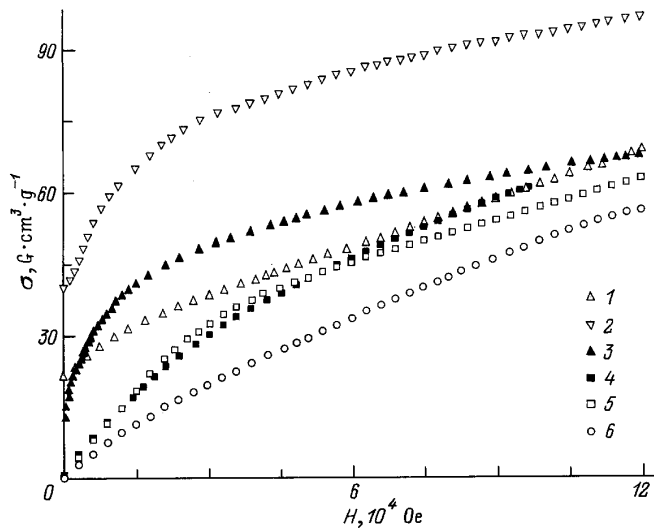


**Рис. 3.** Магнитная восприимчивость образцов с  $x = 0.4$  (1) и  $0.5$  (2) в зависимости от температуры.



**Рис. 4.** Зависимость намагниченности образца  $\text{EuMnO}_{3.02}$  от поля при 4.2 К.

Поле приложено против направления магнитного момента образца, сформированного в процессе охлаждения в поле. При  $H_A = 27$  кОе наблюдалась переориентация магнитного момента образца на противоположное направление. Ниже 27 кОе магнитный гистерезис отсутствовал. Поле  $H_A$  соответствует полю магнитной анизотропии образца. При достижении этого поля начинается переориентация спонтанного магнитного момента. Поле  $H_A$  зависит от магнитной предыстории образца и взаимной ориентации момента и внешнего поля. С увеличением температуры величина поля  $H_A$  резко уменьшается, однако характерный излом на кривых  $\sigma(H)$  присутствует вплоть до температуры 42 К ( $H_A = 400$  Ое). С увеличением содержания кальция наблюдалось увеличение намагниченности и уменьшение поля  $H_A$ . Для образца с  $x = 0.1$  поле  $H_A$  равно 7 кОе в случае охлаждения в ну-



**Рис. 5.** Зависимости намагниченности образцов  $Eu_{1-x}Ca_xMnO_3$  от поля (поле уменьшается) при 4.2 (1–4), 97 (6) и 100 K (5).  $x$ : 1 — 0.1, 2, 5 — 0.2, 3 — 0.3, 4, 6 — 0.4.

левом поле. Зависимости намагниченности  $\sigma(H)$  составов  $0.1 < x \leq 0.4$  при 4.2 K, полученные в режиме уменьшения поля, представлены на рис. 5. Кривые характеризуются наличием сильного парапроцесса в области высоких полей, что присуще неоднородным ферромагнетикам вблизи переколяционного порога. В случае чисто ферромагнитного упорядочения магнитных моментов ионов  $Mn^{3+}$  и  $Mn^{4+}$  для состава  $Eu_{0.8}Ca_{0.2}MnO_3$  значение удельной намагниченности должно быть не менее  $110 \text{ G} \cdot \text{cm}^3/\text{g}$ . Следует отметить, что выше температуры магнитного упорядочения зависимость  $\sigma(H)$  нелинейна (рис. 5). Большие значения намагниченности, наблюдавшиеся около температуры 100 K, характерны для суперпара-магнитного состояния выше температуры блокировки магнитных моментов кластеров.

Резкое изменение намагниченности  $EuMnO_3$  при 40 K (рис. 1) указывает на фазовый переход. Результаты измерений зависимостей  $\sigma(H)$  и  $\sigma(T)$  для этого соединения можно объяснить на основе предположения, что спонтанная намагниченность обусловлена ферромагнитными кластерами. Магнитные моменты кластеров начинают постепенно блокироваться ниже температуры 48 K. При температуре 40 K происходит антиферромагнитное упорядочение в основной матрице. Гигантская магнитная анизотропия этого соединения не может быть обусловлена ионами  $Eu^{3+}$ , для которых  $J = 0$ . С увеличением содержания ионов  $Mn^{4+}$  намагниченность возрастает, тогда как анизотропия уменьшается. Поэтому мы полагаем, что источником магнитной анизотропии являются ионы  $Mn^{3+}$ , находящиеся внутри ферромагнитных кластеров. Первовскит  $LaMnO_3$  также является антиферромагнетиком с включениями фер-

ромагнитных кластеров. Однако коэрцитивная сила этого соединения при 4.2 K в 6 раз меньше, чем у  $EuMnO_3$ , и магнитный гистерезис наблюдался в малых полях ( $H < 1 \text{ kOe}$ ). По-видимому, орбитальные состояния ионов  $Mn^{3+}$  внутри ферромагнитных кластеров в этих соединениях различаются. Мы полагаем, что для  $Mn^{3+}$  и  $LaMnO_3$  реализуется быстрая переориентация  $d_{z^2}$ -орбиталей (динамический эффект Яна–Теллера), тогда как в случае  $EuMnO_3$  переориентация медленная (статический эффект Яна–Теллера).

Поведение магнитных свойств при замещении  $Eu^{3+}$  на  $Ca^{2+}$  также значительно отличается от системы  $La$ – $Ca$ – $Mn$ – $O$ . В лантановых первовскитах с незначительным содержанием  $Ca^{2+}$  или с избытком кислорода реализуется смешанное, двухфазное магнитное состояние с ярко выраженным температурами ферромагнитного и антиферромагнитного упорядочения [4]. В составах  $Eu_{1-x}Ca_xMnO_3$  с  $x = 0.1$  и  $0.2$  (рис. 2) наблюдалось аномальное поведение свойств только вблизи температуры расхождения кривых ZFC и FC. Мы полагаем, что характерные размеры антиферромагнитных и ферромагнитных областей  $Eu_{1-x}Ca_xMnO_3$  намного меньше, чем в лантановых первовскитах. Возможно, в составах  $0.1 \leq x \leq 0.3$  реализуется состояние типа кластерного спинового стекла. Однако для окончательных выводов необходимы эксперименты по дифракции нейтронов.

Начиная с состава  $x = 0.3$ , намагниченность уменьшается с ростом содержания кальция. Подобное поведение намагниченности обнаружено для систем  $La_{1-x}Ca_xMnO_3$  при  $x \geq 0.4$  [5]. Это связывалось с упорядочением разновалентных ионов марганца. Согласно [5], зарядовое упорядочение в  $La_{0.5}Ca_{0.5}MnO_3$  происходит при 220 K и является фазовым переходом первого рода. Зарядовое упорядочение изменяет характер обменных взаимодействий между ионами марганца с ферромагнитного на антиферромагнитный. В  $Pr_{0.5}Ca_{0.5}MnO_3$  зарядовое упорядочение происходит при 250 K, антиферромагнитное — при 170 K. Антиферромагнитное упорядочение в  $Pr_{0.6}Ca_{0.4}MnO_3$  и  $Pr_{0.5}Ca_{0.5}MnO_3$  переходит в ферромагнитное при наложении сильного внешнего поля [2].

Свойства составов европиевых манганитов в интервале  $0.4 < x \leq 0.5$  значительно отличаются от свойств лантановых и празеодимовых. Температура Нееля понижается до 40 K (рис. 2). В полях до 120 kOe метамагнитного поведения не наблюдалось. Температура зарядового упорядочения становится выше комнатной. Изменение свойств ортоманганитов при увеличении порядкового номера редкоземельного иона обусловлено уменьшением ковалентной составляющей химической связи.

## Список литературы

- [1] B. Raveaux, A. Haignan, V. Caignoert. J. Sol. Stat. Chem. **117**, 2, 424 (1995).
- [2] M.R. Lees, J. Barrat, G. Balakrishnan, P. McK Paul. Phys. Rev. **B52**, 53 (1995).
- [3] M.R. Ibarra, P.A. Alagarabel, C. Marquina, J. Blasco, J. Garsia. Phys. Rev. Lett. **75**, 20, 3541 (1995).
- [4] И.О. Троянчук. ЖЭТФ **102**, 7, 251 (1992).
- [5] P. Schiffer, A.P. Ramirez, W. Bao, S.-W. Cheong. Phys. Rev. Lett. **75**, 18, 3336 (1995).